



Rainfall-runoff simulation in Saqez sub-basin using an artificial neural network model

Saeed Azadi ¹, Amin Toranjian ^{2*}, Saman Mostafaei ³

¹ Former Ph.D. Student, Department of Water Science Engineering, Faculty of Agriculture, Bu-Ali Sina University, Hamedan, Iran

² Assistant Professor, Department of Water and Soil Science, Faculty of Agriculture, Malayer University, Malayer, Iran

³ Former M.Sc. Student, Department of Water and Soil Science, Faculty of Agriculture, Malayer University, Malayer, Iran

Extended Abstract

Introduction

The rainfall-runoff process, which is affected by various hydrological parameters, is one of the most complex hydrological processes and one of the most basic hydrological topics related to understanding and predicting the processes of runoff production and transfer. It is the outlet point of the watershed. Planning and optimal utilization of runoff is one of the essential issues in watersheds. Therefore, knowing the natural capacity of runoff production and simulating rainfall-runoff is very important. Artificial intelligence and the use of neural network models are one of the methods for rainfall-runoff forecasting. An artificial neural network is a method with the ability to learn, understand, master relationships, and resist errors. Today, artificial intelligence black-box methods such as self-constructing and self-learning functions have a wide ability to model and predict complex problems.

Materials and Methods

The purpose of this research is to evaluate the performance of the artificial neural network model for rainfall-runoff simulation in the Saghez sub-basin in Kurdistan province. To carry out this research, 18-year (2001-2018) data received daily from the Meteorological Organization and Saghez Regional Water and Hydrometry Company have been used. In this study, two types of meteorological and hydrometric data were used. The meteorological parameters used include precipitation, evaporation, average temperature, maximum and minimum temperature, and the hydrometric parameter used in this research was only discharge. In the Saghez basin, rainfall-runoff changes have always been considered one of the prominent hydrological indicators. Since the Turpentine sub-basin is considered an open basin in terms of its nature, precipitation can be considered a suitable alternative for investigating discharge in the study area of this research. As a result, precipitation is selected as a potential input variable, and the adequacy of the remaining variables will be tested separately for the neural network model. In this research, the meteorological parameters used include precipitation, evaporation, average temperature, and maximum and minimum temperature, and the hydrometric parameter used in this research was only discharge. Finally, to simulate rainfall-runoff using an artificial neural network model, scenarios with different input variables were considered. To evaluate and validate the performance results of the simulated model in different scenarios of this study, four statistical criteria of correlation coefficient (R), root mean square error (RMSE), mean absolute error (MAE), and Nash-Sutcliffe index (NSE) were used.

Results and Discussion

Six investigated scenarios were randomly selected by combining different inputs. In the first scenario, the input variable includes precipitation, and the output variable is discharge. In the second scenario, the input variables include precipitation and evaporation, and the output variable is discharge. In the third scenario, the input variables include precipitation and average temperature, and the output variable is discharge. In the fourth scenario, the input variables include precipitation and flow variables with a one-day delay, and the output variable is flow. In the fifth scenario, the input variables include precipitation, average temperature, maximum and minimum temperature, and the output variable is discharge. In the sixth scenario, the input variables include precipitation, evaporation, average temperature, maximum and minimum temperature, and the output variable is discharge. In all six scenarios, the output variable is the flow rate. Also, in the modeling, 70% of the data for the training section and 30% of the data for the test section were examined. According to the final results, the performance of the artificial neural network model in scenario number four (input variables including rainfall and discharge with a one-day delay) among the six developed scenarios, with correlation coefficient values of 0.92, mean squared error of 6.65, mean absolute error of 2.04 and the Nash-Sutcliffe index of 0.84 in the training section with the values of 0.91, 5.34, 1.57, and respectively 0.82 selected as the best combination in the test



section, and in terms of statistical performance indicators, the results of the Nash-Sutcliffe index values in the training and test section were closer to one, which indicates a good match between the observed values and those simulated. Also, the correlation coefficient specifies the amount of agreement and distribution of observational data with the predicted results, which indicates that the error measurement indicators and data distribution in the training and test sections are a favorable result for prediction. The amount of discharge in this scenario shows that it has a much better performance than the rest of the scenarios. Also, in the fourth scenario, changes in the time series of observed discharge values against the simulated values in the training and test phases were investigated in the artificial neural network model. According to this figure, compared to the observed value, the simulated flow rate had good accuracy and an acceptable error value.

Conclusion

The obtained results showed that for the sub-basin of Turpentine, the algorithm of the artificial neural network model for simulating rainfall-runoff on a suitable daily scale has obtained suitable and acceptable results. So it can be said that artificial neural network modeling has high accuracy and low error for the study area. Also, artificial intelligence models can be used as a useful tool and a reliable approach for water resource managers.

Keywords: Artificial Intelligence, Discharge, Modeling, Water Resources Management.

Article Type: Research Article

Acknowledgement

We would like to express our sincere gratitude to the University of Malayer for the financial and logistical support that significantly contributed to this research project.

Conflicts of interest

The authors of this article declared no conflict of interest regarding the authorship or publication of this article.

Data Availability Statement:

The datasets are available upon a reasonable request to the corresponding author.

Authors' contribution

Saeed Azadi: Writing-original draft preparation, Manuscript editing, Visualization; **Amin Toranjian:** Supervision, Conceptualization, methodology; **Saman Mostafaei:** Resources, Software, Formal analysis and investigation.

*Corresponding Author, E-mail: a.toranjian@malayeru.ac.ir

Citation: Azadi, S., Toranjian, A., & Mostafaei, S. (2025). Rainfall-runoff simulation in Saqez sub-basin using artificial neural network model. *Water and Soil Management and Modeling*, 5(3), 74-87.
doi: 10.22098/mmws.2025.16468.1535

Received: 31 December 2024., Received in revised form: 01 February 2025, Accepted: 15 April 2025., Published online: 23 September 2025.

Water and Soil Management and Modeling, Year 2025, Vol. 5, No. 3, pp. 74-87.

Publisher: University of Mohaghegh Ardabili

© Author(s)





مدل‌سازی و مدیریت آب و خاک

شایعه‌کترونیکی: ۲۵۶-۲۷۸۳



شبیه‌سازی بارش-رواناب در زیرحوضه سقز با استفاده از مدل شبکه عصبی مصنوعی

سعید آزادی^۱، امین ترنجیان^{۲*}، سامان مصطفایی^۳

^۱ دانش‌آموخته دکتری، گروه علوم و مهندسی آب، دانشکده کشاورزی، دانشگاه بولوی سینا، همدان، ایران

^۲ استادیار، گروه علوم و مهندسی آب و خاک، دانشکده کشاورزی، دانشگاه ملایر، ملایر، ایران

^۳ دانش‌آموخته کارشناسی ارشد، گروه علوم و مهندسی آب و خاک، دانشکده کشاورزی، دانشگاه ملایر، ملایر، ایران

چکیده

برنامه‌برداری و بهره‌برداری بهینه از رواناب یکی از مسائل ضروری در حوزه‌های آبخیز است. بنابراین آگاهی از ظرفیت طبیعی تولید رواناب و شبیه‌سازی بارش-رواناب دارای اهمیت زیادی است. هوش مصنوعی و استفاده از مدل‌های شبکه عصبی یکی از روش‌های پیش‌بینی بارش-رواناب است. هدف از این پژوهش ارزیابی عملکرد مدل شبکه عصبی مصنوعی برای شبیه‌سازی بارش-رواناب در زیرحوضه سقز است. به منظور انجام این پژوهش، داده‌های روزانه هواشناسی و آب‌سنگی منطقه شامل بارش، دما و تبخیر و دبی در دوره آماری ۱۸ ساله (۱۳۹۷-۱۳۸۰) تهیه و مورد بررسی قرار گرفت. ارزیابی عملکرد مدل، با استفاده از شش سناریوی ترکیبی و چهار معیار آماری ضریب همبستگی (R)، میانگین مربعات خطای مطلق (RMSE) و شاخص نش-سانکلیف (NSE) انجام شد. متغیرهای ورودی در سناریوی اول بارش، در سناریو دوم بارش و تبخیر، در سناریو سوم بارش و دمای میانگین، در سناریوی چهارم، بارش و متغیر دبی با یک روز تأخیر، در سناریوی پنجم، بارش، دمای میانگین، پیشینه دما و کمینه و در سناریوی ششم، بارش، تبخیر و دمای میانگین و پیشینه و کمینه دما می‌باشدند. در تمامی سناریوها نیز دبی به عنوان متغیر خروجی در نظر گرفته شد. پس از بررسی تمامی سناریوها، نهایتاً مدل پیشنهادی شبکه عصبی مصنوعی در سناریوی چهار که متغیرهای ورودی شامل بارش و دبی همراه با یک روز تأخیر بود، با مقادیر ضریب همبستگی ۰/۹۲، میانگین مربعات خطای مطلق ۰/۹۱، شاخص نش-سانکلیف ۰/۸۴ و شاخص نش-سانکلیف ۰/۸۲ در بخش آموزش بهترین با مقادیر ۰/۹۱، ۰/۳۴ و ۰/۵۷ در بخش آزمون عملکرد بهتری نسبت به سایر مدل‌های توسعه یافته شده، از خود نشان داد. نتایج نشان داد استفاده از مدل شبکه عصبی مصنوعی به عنوان یکی از مدل‌های هوش مصنوعی برای شبیه‌سازی بارش-رواناب در مقیاس روزانه مناسب و دارای صحت بالا و خطای کم برای منطقه مطالعاتی بوده و می‌تواند به عنوان ابزاری مفید و رویکردی قابل اعتماد در اختیار مدیران منابع آب قرار گیرد.

واژه‌های کلیدی: دبی، مدل‌سازی، مدیریت منابع آب، هوش مصنوعی.

نوع مقاله: پژوهشی

*مسئول مکاتبات، پست الکترونیکی: a.toranjian@malayeru.ac.ir

استناده: آزادی، سعید، ترنجیان، امین، و مصطفایی، سامان (۱۴۰۴). شبیه‌سازی بارش-رواناب در زیرحوضه سقز با استفاده از مدل شبکه عصبی مصنوعی. مدل‌سازی و مدیریت آب و خاک، ۳(۵)، ۷۴-۸۷.

doi: 10.22098/mmws.2025.16468.1535

تاریخ دریافت: ۱۰/۱۱/۱۴۰۳، تاریخ بازنگری: ۱۱/۱۳/۱۴۰۳، تاریخ پذیرش: ۱۲/۰۱/۱۴۰۴، تاریخ انتشار: ۰۷/۰۱/۱۴۰۴

مدل‌سازی و مدیریت آب و خاک، سال ۱۴۰۴، دوره ۵، شماره ۳، صفحه ۷۴ تا ۸۷
ناشر: دانشگاه محقق اردبیلی © نویسنده‌گان



۱- مقدمه

زمانی که روابط فیزیکی کاملاً شناخته شده نیست به کار گرفته می‌شود. این روش نیازی به دانستن فرآیند پدیده ندارد و زیرمجموعه روش‌های جعبه سیاه است و این روش در اصل یک مدل غیرخطی است و می‌تواند متغیرهای زمانی را نیز دخالت دهد (Nourani and Komasi, 2013).

شبکه عصبی مصنوعی روشی با قابلیت یادگیری، قابلیت فهم، تسلط بر روابط و مقاومت در برابر خطا است. امروزه روش‌های جعبه سیاه هوش مصنوعی به عنوان توابع خودساز و خودبایگیر، قابلیت وسیعی در مدل‌سازی و پیش‌بینی مسائل پیچیده دارند. در سال‌های اخیر مطالعاتی از موارد کاربرد روش شبکه عصبی مصنوعی در علوم و مهندسی آب صورت گرفته است.

به عنوان مثال، (Dehghani et al., 2015) به شبیه‌سازی جریان روزانه در حوزه آبخیز کسیلیان با استفاده از شبکه عصبی مصنوعی و شبکه عصبی-فازی تطبیقی پرداختند. پژوهش گران از آمار بارش، تبخیر و دما ایستگاه هواشناسی سنتگه به عنوان ورودی این مدل‌ها و از آمار دبی ایستگاه ولیک بن که خروجی این مدل‌ها است طی سال‌های ۱۳۸۲ تا ۱۳۸۸ استفاده کردند. طبق نتایج این پژوهش می‌توان دریافت که شبکه عصبی-فازی تطبیقی با تابع عضویت زنگوله‌ای شکل و شعاع تأثیر ۰/۱۴ نسبت به مدل شبکه عصبی مصنوعی با همان ساختار با الگوریتم آموزشی لونبرگ-مارکوارت، تابع انتقال سیگموید و ۱۴ نرون در لایه مخفی در دوره آزمون، توانایی بهتری برای مدل‌سازی بارش-رواناب در حوزه آبخیز کسیلیان را دارا بوده است.

در پژوهشی، (Mirzania et al., 2021) فرآیند بارش-رواناب را در حوضه صوفی‌چای با استفاده از شبکه عصبی مصنوعی و هیبرید موجک-شبکه عصبی مورد مطالعه قرار دادند. در طول دوره آماری (۱۳۹۸-۱۳۸۰) داده‌های بارش-رواناب برای آموزش و صحبت‌سنگی مدل‌ها استفاده شد و برای هر مدل، شش سناریو به کار برده شد. در حالت کلی نتایج هر دو مدل گویای صحت کار کرد آن‌ها است. از لحاظ اولویت، نتایج نشان داد که روش شبکه عصبی مصنوعی در بهبود و پیش‌بینی بارش-رواناب مناسب‌تر است.

همچنین، (Phuphong et al., 2013) به پیش‌بینی رواناب بر پایه شبکه عصبی مصنوعی در نبود داده‌های بارش پرداختند. نتایج آن‌ها نشان داد که ضریب همبستگی مقادیر مشاهداتی و محاسباتی سطح آب برای ایستگاه تاکینفاؤ بیشتر از ۰/۹۲ و جذر میانگین مربعات خطای ۱/۹۲ درصد میانگین سالانه سطح آب و برای ایستگاه بان موانگ کونگ نیز ضریب همبستگی بیشتر از ۰/۸۶ و جذر میانگین مربعات خطای ۶/۶۷ درصد میانگین سالانه سطح آب بوده است. پژوهش گران اظهار داشتند

فرآیند بارش-رواناب که از پارامترهای مختلف هیدرولوژیکی تأثیر می‌پذیرد یکی از پیچیده‌ترین فرآیندهای هیدرولوژیکی به شمار می‌آید و از اساسی‌ترین مباحث هیدرولوژی مربوط به درک و پیش‌بینی فرآیندهای تولید رواناب و انتقال آن به نقطه خروجی حوزه آبخیز است (Solgi et al., 2015).

اهمیت و ضرورت مهار آبهای سطحی جهت سیاست‌گذاری و برنامه‌ریزی‌های تأمین آب با وجود افزایش روزافزون تقاضای آب و هدر رفتن حجم زیادی از رواناب‌ها در کشور، و به علت عدم کنترل بیش از پیش آن ضرورت می‌یابد. بدیهی است برآورد صحیح جریان رواناب حوضه‌ها نخستین گام در استحصال این منابع و استفاده از پتانسیل موجود در حوزه‌های آبخیز است (Zoratipour et al., 2009).

در قرن اخیر پیش‌بینی دقیق رواناب یک چالش مهم برای متخصصین بوده است. برای اینکه بتوان تخمین‌های صحیحی از رواناب را به دست آورد، مدل‌های متعددی با روش‌های متنوع به کار گرفته شده است که در طول زمان این مدل‌ها نسخه‌های Raoof et al. پیشرفت‌هایی از خود به نمایش گذاشته‌اند. از این‌رو (2024) از بارش حداکثر روزانه و توزیع آماری پرسون تیپ ۳ با استفاده از نرم‌افزار EasyFit به عنوان ورودی در شبیه‌سازی هیدروگراف سیلاپ برای دوره‌های بازگشت دو تا ۱۰۰ ساله استفاده نمودند و دبی حداکثر سیلاپ شبیه‌سازی شده با دبی سیلاپ مشاهداتی مورد مقایسه قرار گرفت. نتایج شبیه‌سازی هیدروگراف سیلاپ آن‌ها نشان داد که با افزایش دوره بازگشت، حداکثر دبی با شبیه‌سازی افزایش می‌یابد. اثر تعییر شماره منحنی روی دبی‌های حداکثر سیلاپ در دوره بازگشت کم به Mirzaei et al. (2015) به شبیه‌سازی هیدروگراف سیلاپ با استفاده از سیستم مدل‌سازی حوضه با بهره‌گیری از الگوی بارش بهینه پرداختند. بررسی دبی شبیه‌سازی شده با الگوهای متفاوت آن‌ها نشان داد الگوی بارش WMO با مدل بارش-رواناب SCS در برآورد حداکثر دبی لحظه‌ای، به عنوان مدل پیشنهادی برای حوضه آتشگاه استان اردبیل انتخاب شد. به دلیل وجود روابط پیچیده غیرخطی در تبدیل زمان بارش به رواناب، تحلیل بارش-رواناب Estaghmatahan and Normand, (2015) بسیار مشکل است.

در دهه‌های اخیر در بخش‌های مختلفی از جمله مدل‌سازی بارش-رواناب، روش‌های هوش مصنوعی کاربرد پیدا کرده‌اند. شبکه‌های عصبی مصنوعی^۱ (ANN) در موارد زیادی به ویژه

^۱ Artificial Neural Networks

با در نظر گرفتن ویژگی‌ها و توانایی‌های منحصر به فرد شبکه‌های عصبی مصنوعی در مطالعات انجام شده، این روش‌ها می‌توانند به عنوان روشنی توانا و سودمند در مسائل مختلف مهندسی مانند مطالعات سیستم منابع آب به کار گرفته شوند. بنابراین با توجه به اهمیت پیش‌بینی مناسب جریان رودخانه و شبیه‌سازی فرآیند بارش-رواناب در مدیریت مخازن سدها، مقدار ورودی آب رودخانه به دریا یا دریاچه و موارد دیگری همچون کنترل سیالاب، در این پژوهش با بهره‌گیری از روش شبکه عصبی مصنوعی اقدام به پیش‌بینی جریان رودخانه و شبیه‌سازی فرآیند بارش-رواناب در سطح زیرحوضه سقز در استان کردستان از زیرحوضه‌های دریاچه ارومیه و در قالب سناریوهای مختلف پرداخته شد. در نتیجه، بارش به عنوان متغیر ورودی بالقوه انتخاب می‌شود و کفایت متغیرهای باقیمانده به طور جداگانه برای مدل شبکه عصبی آزمایش خواهد شد.

۲- مواد و روش‌ها

۲-۱- منطقه مورد مطالعه

زیرحوضه سقز در استان کردستان واقع شده که جزوی از حوزه آبخیز دریاچه ارومیه است و شامل شهرستان سقز و مناطق اطراف آن است. منطقه مورد مطالعه مابین ۴۵ درجه و ۵۰ دقیقه تا ۴۷ درجه و ۲۳ دقیقه شرق طول جغرافیایی و ۳۵ درجه و ۴۳ دقیقه تا ۳۶ درجه و ۴۵ دقیقه شمال عرض جغرافیایی و در ارتفاع میانگین ۱۵۰۰ متری از سطح دریا قرار دارد (شکل ۱).

زیرحوضه سقز از نظر اقلیمی کوهستانی و سرد و جزء اقلیم مدیترانه‌ای محسوب می‌شود. هم‌چنین، به دلیل داشتن ارتفاع و عرض جغرافیایی بالا، دارای تابستان‌های معتدل و زمستان‌های بسیار سرد است. از نظر وزش باد جزء مناطقی است که باد همیشه در آن جریان داشته و بیشترین وزش‌های باد در فصل‌های پاییز و بهار اتفاق می‌افتد و جهت آن بیشتر جنوب‌غرب و غرب است. زیرحوضه آبخیز سقز از نظر جغرافیایی در غرب ایران واقع شده است و شیب متوسط آن ۱۴/۵۸ درصد است. خصوصیات جغرافیایی و تقسیمات اقلیمی این منطقه به صورت خلاصه در جدول ۱ ارائه شده است.

جدول ۱- خصوصیات هیدرولوژیکی زیرحوضه و اقلیم منطقه مورد مطالعه سقز

Table 1. Hydrological characteristics of the Sub basin, and climate of the studied area of Saqqez

Variable	Value
Area (km ²)	453
Circumference (km)	120
Gravilius coefficient	1.59
Elongation coefficient	0.80
)%Average basin slope (14.58
Main waterway slope (km)	79.20
Amberge coefficient	117.63
Regional climate type based on Ambergre	Cold semi-arid climate
Regional prevailing wind direction	Southwest
Annual prevailing wind speed (m/s)	5.20

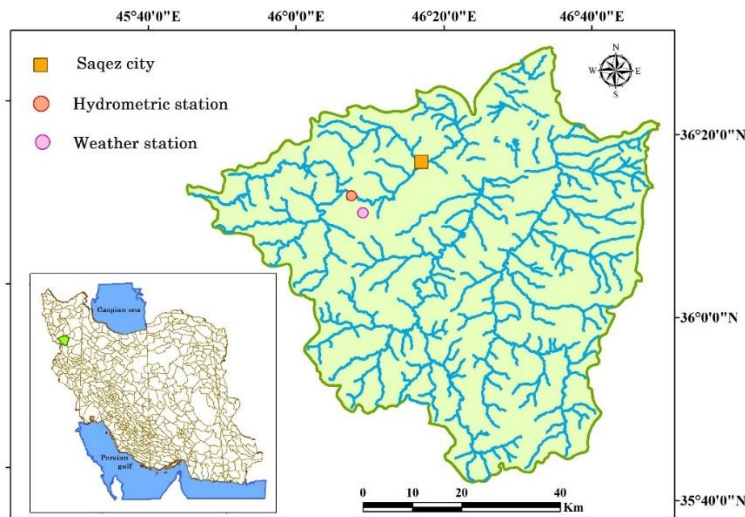
نتایج به دست آمده از این پژوهش در پیش‌بینی از صحت قابل قبولی برخوردار بوده است.

در پژوهشی، (Kashani et al. 2016) با استفاده از مدل خطی ولترا و مدل هوشمند شبکه عصبی به ارزیابی مدل‌سازی فرآیند غیرخطی بارش-رواناب پرداختند. داده‌های بارش و رواناب مربوط به ۱۵ رویداد از حوزه آبخیز ناورود واقع در شمال ایران جمع‌آوری شد و به ترتیب ۷۰ درصد و ۳۰ درصد رویدادها برای آموزش و تست مدل استفاده کردند. آن‌ها عملکرد مدل ولترا را با استفاده از پنج معیار عملکرد مختلف با مدل شبکه عصبی پرسپکترون چند لایه مقایسه کردند. طبق نتایج آن‌ها مشخص شد که مدل هوشمند شبکه عصبی توانایی بالاتری نسبت به مدل ولترا در پیش‌بینی‌های رواناب حوزه آبخیز ناورود را دارد. است. به طور کلی، برخلاف سایر مدل‌های خطی، مدل خطی ولترا در شبیه‌سازی فرآیند غیرخطی بارش-رواناب کارآیی بالایی ندارد و نیاز به تعمیم مدل به مرتبه‌های بالاتر و کاهش تعداد پارامترهای قابل تخمین آن خواهد داشت.

هم‌چنین در پژوهشی، (Patel and Joshi et al. 2017) استفاده از شبکه عصبی مصنوعی به مدل‌سازی ضرایب بارش-رواناب در حوزه آبخیز داروی در هند پرداختند. با بررسی نتایج مشاهده شد مدل شبکه عصبی خطای بسیار پایینی داشته و برای شبیه‌سازی ضرایب بارش-رواناب در این حوضه پیشنهاد می‌شود. آن‌ها در پژوهش خود از داده‌های ۲۹ ساله بارش و رواناب استفاده نمودند که منجر به دستیابی به نتایج صحیح‌تری در این مطالعه شده است.

با استفاده از ترکیب دو روش شبکه عصبی مصنوعی-رگرسیون ماشین بردار پشتیبان به مدل‌سازی بارش-رواناب پرداختند. نتایج آن‌ها نشان داد روش ترکیبی شبکه عصبی مصنوعی-رگرسیون ماشین بردار پشتیبان عملکرد بهتری در مقایسه بین رواناب واقعی و پیش‌بینی شده نسبت به روش‌های ماشین بردار پشتیبان و رگرسیون خطی داشت. در نهایت نتایج آن‌ها حاکی بر آن بود که مدل ترکیبی مورد نظر در پیش‌بینی مقادیر اوج رواناب در فصل بارش‌های شدید از صحت عملکرد بالایی برخوردار است.

جدول ۱-



شکل ۱- موقعیت جغرافیایی منطقه مورد مطالعه
Figure 1. Geographical location of the study area

انتخاب نوع شبکه اولین و مهم‌ترین قدم در شروع طراحی معماری شبکه می‌باشد. یک مدل شبکه عصبی مصنوعی با سه لایه معمولی، دارای یک ورودی، یک خروجی و یک لایه پنهان است (Li et al., 2021).

$$v_j = \sum_{i=1}^n w_{ji}x_i + b_j \quad (1)$$

$$y_i = \varphi(v_j) \quad (2)$$

v_j مقدار فعال‌سازی نرون، w_{ji} مقدار وزن سینپسی، x مقدار ورودی، b_j مقدار bias در لایه پنهان، y_i نرون لایه خروجی و φ تابع فعال‌سازی است. آموزش شبکه عصبی مصنوعی در سه مرحله انجام می‌شود: (۱) کنترل الگوی آموزشی ورودی، (۲) محاسبه و انتشار مجدد خطای مربوطه و (۳) تنظیم وزن (Li et al., 2021).

پس از جمع‌آوری داده‌ها و بررسی صحت آن‌ها، اجرای ساختارهای مختلف شبکه عصبی مصنوعی به‌منظور مدل‌سازی بارش-رواناب در زیر حوضه سقز در نرم‌افزار NeuroSolutions (Ver.5) صورت گرفت. نرم‌افزار فوق از قابلیت نرم‌ماسازی داده‌ها برخوردار است (Aksoy and Haralick, 2001). سپس، ۷۰ درصد داده‌ها برای آموزش شبکه و ۳۰ درصد باقی‌مانده برای آزمون شبکه به‌منظور اعتبارسنجی مدل در نظر گرفته شد. ترکیب مختلف شبکه عصبی مصنوعی با تعداد لایه‌ها و نرون‌های متفاوت با یکدیگر مقایسه شدند و بر مبنای معیارهای ارزیابی خطای شبکه عصبی مصنوعی با بهترین معماری انتخاب شد.

۲-۲- داده‌های مورد نیاز

در این مطالعه از داده‌های روزانه ۱۸ ساله (۱۳۸۰-۱۳۹۷) هواشناسی و هیدرومتری ایستگاه قباغلو که از سازمان هواشناسی و شرکت آب منطقه‌ای استان کردستان اخذ شده، استفاده شد. پارامترهای هواشناسی و هیدرومتری استفاده شده در این پژوهش شامل بارش، تبخیر، میانگین دما، بیشینه و کمینه دما و دبی متوسط در مقیاس روزانه است (جدول ۲).

جدول ۲- خلاصه آماری داده‌های مشاهداتی
Table 2. Statistical summary of the observational data

Parameters used	Statistical parameters (daily)			
	Average	Maximun	Minimun	Standard Deviation
Rainfall (mm)	1.40	81.00	0.00	4.70
Discharge (m³/s)	8.50	243.00	0.00	15.40
Evaporation (mm)	6.20	22.40	0.00	3.50
Average temperature (°C)	13.30	34.70	1.30	4.20
Maximum temperature (°C)	18.90	40.30	-8.10	11.70
Minimum temperature (°C)	5.60	33.90	-20.40	8.60

۲-۳- روش شبکه عصبی مصنوعی

روش شبکه عصبی مصنوعی، یک روش محاسباتی از سیستم‌های عصبی است. این مدل‌ها که با الهام گرفتن از طرز کار مغز بشر ساخته شده‌اند، قابلیت یادگیری، فراخوانی و تعمیم یافتن از الگوهای یادگیری یا داده‌ها را دارا می‌باشند (Nozari and Azadi, 2017). شبکه عصبی مصنوعی یک مدل ریاضی خطی است که می‌تواند فرآیندهای غیرخطی دلخواه را شبیه‌سازی کرده و همچنین، ورودی‌ها و خروجی‌های هر سیستم را به هم مرتبط سازد (Parsaie et al., 2019).

$$R = \frac{\sum_{i=1}^N (X_{oi} - \bar{X}_{oi})(X_{pi} - \bar{X}_{pi})}{\sqrt{\sum_{i=1}^N (X_{oi} - \bar{X}_{oi})^2 \cdot \sum_{i=1}^N (X_{pi} - \bar{X}_{pi})^2}} \quad (5)$$

$$NSE = 1 - \left[\frac{\sum_{i=1}^N (X_{oi} - X_{pi})^2}{\sum_{i=1}^N (X_{oi} - \bar{X}_{oi})^2} \right] \quad (6)$$

در این روابط، N تعداد روزهای دوره مورد مطالعه X_{pi} مقادیر اندازه‌گیری شده دبی خروجی، X_{oi} مقادیر پیش‌بینی شده دبی خروجی با استفاده از مدل \bar{X}_{pi} میانگین داده‌های اندازه‌گیری شده دبی خروجی و \bar{X}_{oi} میانگین داده‌های پیش‌بینی شده دبی خروجی در هر روز می‌باشد.

۳- نتایج و بحث

۱- یافته‌های مدل‌سازی با شبکه عصبی مصنوعی براساس تحلیل سناریوها

نتایج مدل بهمنظور شبیه‌سازی بارش-رواناب با استفاده از مدل شبکه عصبی مصنوعی، در شش سناریو اجرا شده به صورت زیر است:

الف- نتایج سناریو اول

در این سناریو متغیر ورودی بارش و متغیر خروجی دبی متوسط روزانه در نظر گرفته شده است. برای ارزیابی صحت عملکرد مدل شبکه عصبی مصنوعی در جدول ۳ شاخص‌های آماری مدل NSE، RMSE، MAE و R در بخش آموزش و آزمون محاسبه است. مقادیر NSE در بازه [منفی بی نهایت و ۱] بوده و هر چقدر مقدار این پارامتر به یک نزدیک‌تر باشد، نشان‌دهنده تطابق خوب بین مقادیر مشاهداتی و شبیه‌سازی شده است. هم‌چنین، ضریب همبستگی مشخص کننده مقدار تطابق داده‌های مشاهداتی با نتایج پیش‌بینی شده است. لذا با توجه به جدول ۳ و براساس نتایج شاخص‌های آماری می‌توان گفت شاخص‌های خطاسنجی در بخش آموزش و آزمون نتیجه مطلوبی برای پیش‌بینی مقدار دبی در این سناریو نشان نمی‌دهد.

جدول ۳- نتایج شاخص‌های آماری برای سناریو ۱
Table 3. Results of the statistical indicators for scenario 1

Evaluation criteria	Stage	Calculated values
R	Training	0.29
	Testing	0.35
RMSE	Training	15.73
	Testing	11.82
NSE	Training	0.09
	Testing	0.10
MAE	Training	9.97
	Testing	8.54

در شکل ۲ نتایج تغییرات سری زمانی مقادیر دبی متوسط روزانه مشاهداتی در برابر مقادیر شبیه‌سازی شده در مرحله آموزش و

پس از تعیین تعداد لایه و تعداد نمونهای بهینه هر لایه، از توابع انتقالی و الگوریتم‌های یادگیری مختلفی برای معماری شبکه استفاده شد. پس از طراحی شبکه، تعداد تکرارهای متفاوت جهت انتخاب بهترین تعداد تکرار مورد آزمون قرار گرفت. پس از اینکه اجزای مناسب شبکه انتخاب شد، از داده‌های آزمون برای ارزیابی صحت پیش‌بینی و اعتبارسنجی مدل پیشنهادی استفاده شد. لازم به ذکر است پارامترهای ورودی و خروجی با توجه به سناریوهای تعریف شده انتخاب شدنند.

۴-۲- معرفی سناریوهای اجرا شده

با هدف شبیه‌سازی بارش-رواناب و با استفاده از روش شبکه عصبی مصنوعی، از شش سناریو با متغیرهای ورودی مختلف جهت ارزیابی عملکرد مدل استفاده شد. اولین گام تعیین پارامترهای ورودی مناسب است. متغیر ورودی در سناریوی اول، بارش و در سناریوی دوم، بارش و تبخیر بوده است. در سناریوی سوم، متغیرهای ورودی بارش و دمای میانگین، و در سناریوی چهارم، شامل بارش و متغیر دبی با یک روز تأخیر بوده است. در سناریوی پنجم، متغیرهای ورودی شامل بارش، دمای میانگین، بیشینه دما و کمینه و نهایتاً در سناریوی ششم، متغیرهای ورودی بارش، تبخیر، دمای میانگین، دمای بیشینه و کمینه بوده است. متغیر خروجی در شش سناریوی ذکر شده، پارامتر دبی متوسط روزانه بوده و ورودی در یک روز مشخص منجر به دبی خروجی متناظر آن شده و شبیه‌سازی مطابق با آن صورت گرفته است.

۵-۲- اعتبارسنجی مدل

جهت ارزیابی و اعتبارسنجی نتایج مدل شبیه‌سازی شده، شاخص‌های آماری ریشه میانگین مربعات خطأ^۱ (RMSE)، خطای مطلق میانگین^۲ (MAE)، ضریب همبستگی^۳ (R) و ضریب نش-ساتکلیف^۴ (NSE) در نظر گرفته شده است.

$$RMSE = \sqrt{\frac{1}{N} \sum_{i=1}^N (X_{pi} - X_{oi})^2} \quad (3)$$

$$MAE = \left| \frac{\sum_{i=1}^N X_{pi} - X_{oi}}{N} \right| \quad (4)$$

¹ Root Mean Square Error

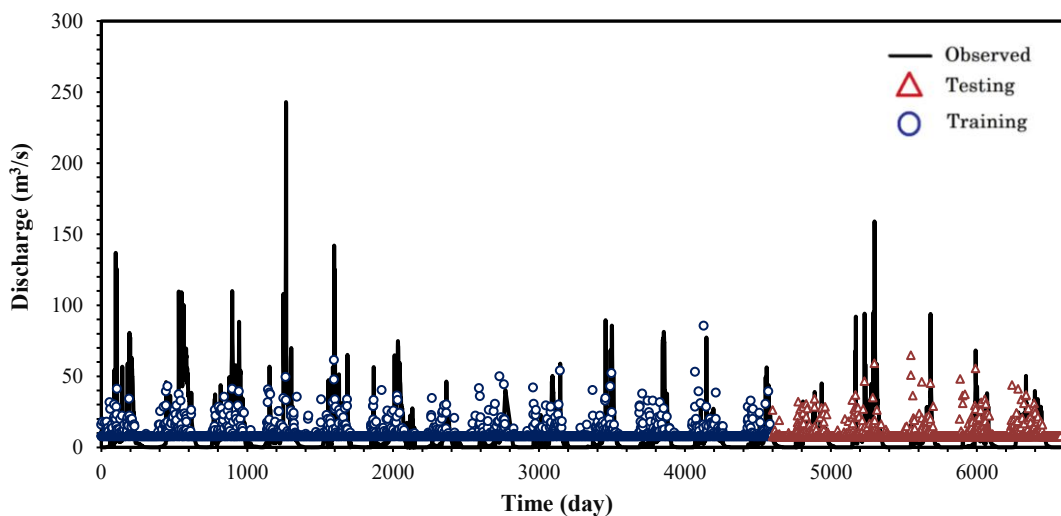
² Mean Absolute Error

³ Correlation Coefficient

⁴ Nash-Sutcliffe Efficiency

زیادی برخوردار بوده و نتایج تغییرات سری زمانی دبی شبیه‌سازی شده، تطابق نسبتاً ضعیفی با مقادیر مشاهداتی دارد.

آزمون در سناریو ۱ نشان داده شده است. این شکل نشان‌دهنده این واقعیت است که مقادیر مشاهداتی و شبیه‌سازی شده دبی در سناریو اول از صحت کم و مقدار خطای



شکل ۲- تغییرات سری زمانی مقادیر دبی مشاهداتی در برابر مقادیر شبیه‌سازی شده در مرحله آموزش و آزمون سناریو ۱

Figure 2. Changes in the time series of the observed discharge values against the simulated values in the stages of training and testing scenario 1

جدول ۴- نتایج شاخص‌های آماری برای سناریو ۲

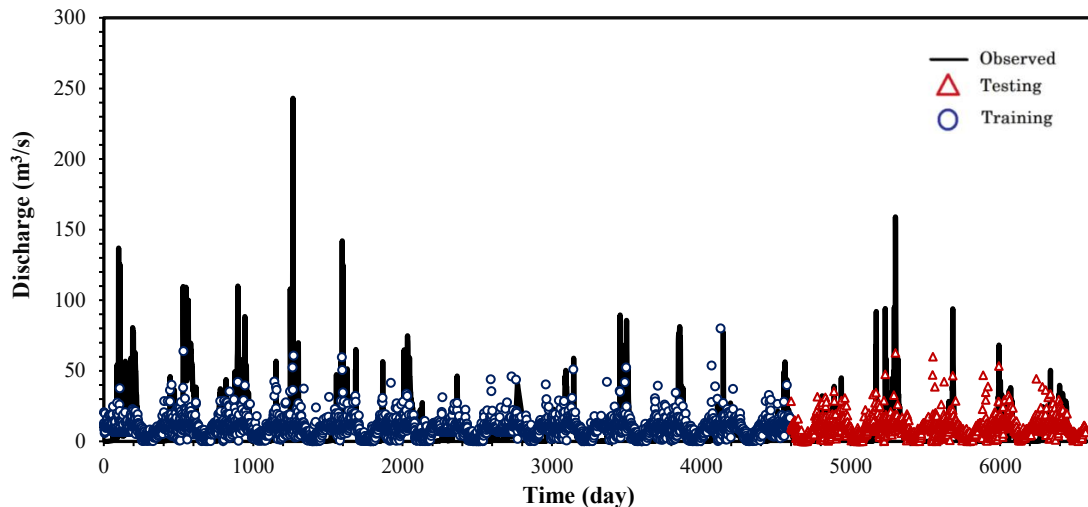
Table 4. Results of the statistical indicators for scenario 2

Evaluation criteria	Stage	Calculated values
R	Training	0.40
	Testing	0.45
RMSE	Training	15.05
	Testing	11.32
NSE	Training	0.16
	Testing	0.17
MAE	Training	9.06
	Testing	7.73

در شکل ۳ نتایج تغییرات سری زمانی مقادیر دبی متوسط روزانه مشاهداتی در برابر مقادیر شبیه‌سازی شده در مرحله آموزش و آزمون در سناریو دوم نشان داده شده است. با توجه به این شکل داده‌های مدل‌سازی شده فاصله زیادی با مقادیر مشاهداتی دارند که طبق تعریف نمودار سری زمانی مشخص می‌گردد نتایج قابل قبولی محاسبه نشده است.

ب- نتایج سناریو دوم

در سناریو دوم متغیرهای ورودی شامل بارش و تبخیر و متغیر خروجی دبی متوسط روزانه است. طبق جدول ۴ نتایج بدست آمده نشان می‌دهد که در بخش آموزش مقادیر شاخص‌های آماری R، RMSE و MAE به ترتیب 0.45 ، 11.32 و 7.73 برابر با 0.40 ، 15.05 و 9.06 است و در بخش آزمون هم به ترتیب برابر با 0.45 ، 11.32 و 7.73 برای سناریو دو بدست آمده است که بیانگر نتیجه قابل قبولی نیست.



شکل ۳- تغییرات سری زمانی مقادیر دبی مشاهداتی در برابر مقادیر شبیه‌سازی شده در مرحله آموزش و آزمون سناریو ۲

Figure 3. Changes in the time series of the observed discharge values against the simulated values in the stages of training and testing scenario 2

جدول ۵- نتایج شاخص‌های آماری برای سناریو ۳

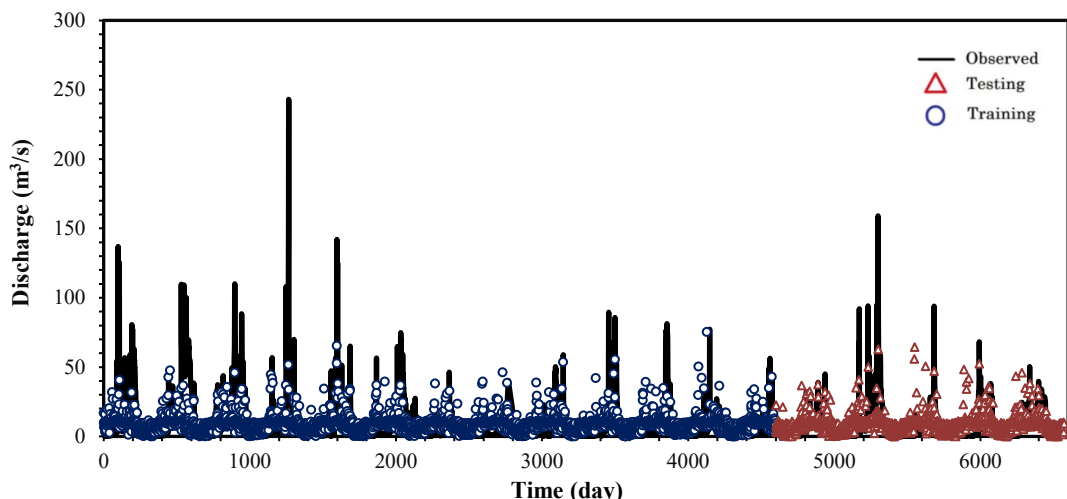
Table 5. Results of the statistical indicators for scenario 3

Evaluation criteria	Stage	Calculated values
R	Training	0.35
	Testing	0.43
RMSE	Training	15.40
	Testing	11.42
NSE	Training	0.12
	Testing	0.16
MAE	Training	9.45
	Testing	7.68

در شکل ۴ نتایج تغییرات سری زمانی مقادیر دبی متوسط روزانه مشاهداتی در برابر مقادیر شبیه‌سازی شده در مرحله آموزش و آزمون در سناریو سوم نشان داده شده است. لذا سناریو سوم که متغیرهای ورودی آن بارش و دمای میانگین بود نیز برای مدل‌سازی در این منطقه مناسب نیست.

پ- نتایج سناریو سوم

در سناریو سوم متغیرهای ورودی بارش و دمای میانگین و متغیر خروجی دبی متوسط روزانه است. مقدار دبی مدل‌سازی شده با مقدار واقعی دبی مورد مقایسه قرار گرفت. با توجه به نتایج مقادیر R، RMSE، NSE و MAE در بخش آموزش به ترتیب برابر با $0/35$ ، $15/40$ ، $0/12$ و $9/45$ و در بخش آزمون نیز به ترتیب برابر با $0/43$ ، $11/42$ ، $0/16$ و $7/68$ به دست آمد (جدول ۵). لذا طبق تعاریف معیارهای ارزیابی، این مقادیر نمی‌توانند برای شبیه‌سازی یک مدل نتایج قبلی قابل قبولی باشند.



شکل ۴- تغییرات سری زمانی مقادیر دبی مشاهداتی در برابر مقادیر شبیه‌سازی شده در مرحله آموزش و آزمون سناریو ۳

Figure 4. Changes in the time series of the observed discharge values against the simulated values in the stages of training and testing scenario 3

جدول ۶- نتایج شاخص‌های آماری برای سناریو ۴

Table 6. Results of the statistical indicators for scenario 4

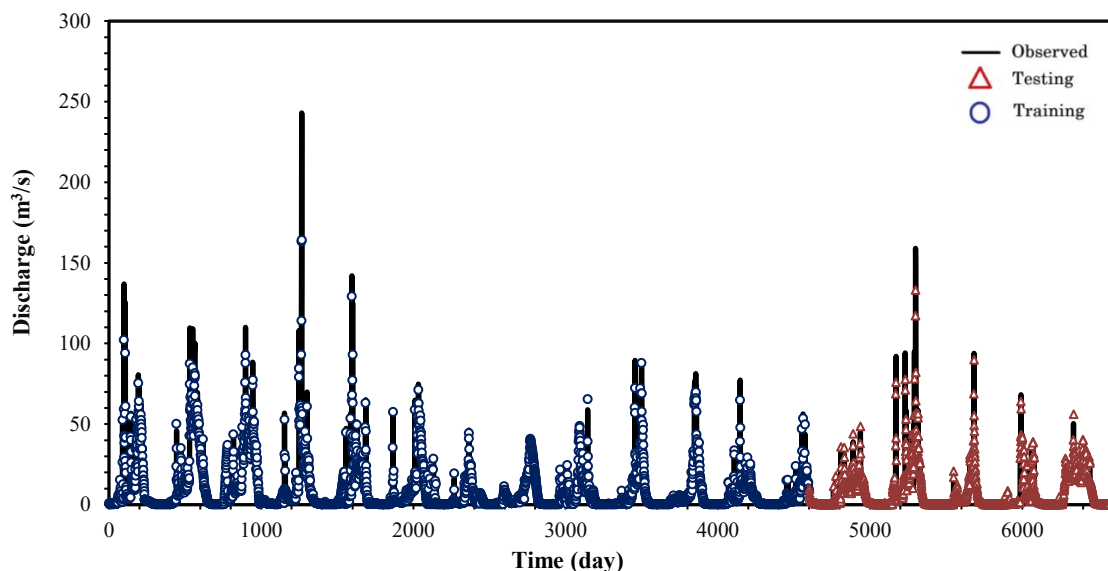
Evaluation criteria	Stage	Calculated values
R	Training	0.92
	Testing	0.91
RMSE	Training	6.65
	Testing	5.34
NSE	Training	0.84
	Testing	0.82
MAE	Training	2.04
	Testing	1.57

در شکل ۵ نتایج تغییرات سری زمانی مقادیر دبی متوسط روزانه مشاهداتی در برابر مقادیر شبیه‌سازی شده در مرحله آموزش و آزمون در مدل شبکه عصبی مصنوعی برای سناریو چهارم نشان داده شده است. با توجه به این شکل مقدار دبی شبیه‌سازی شده در مقایسه با مقدار مشاهداتی از تطابق مناسب و مقدار خطای قابل قبولی برخوردار است. (Shahani et al. 2023) پژوهشی را در منطقه کشفرود واقع در استان خراسان جنوبی با مدل‌های شبکه عصبی مصنوعی و یادگیری عمیق جهت برآورد بارش-رواناب انجام دادند. بدین منظور عملکرد دو مدل در مدل‌سازی بارش-رواناب با ورودی‌های بارش و دبی روزانه با تأخیرهای مختلف مقایسه شد. یافته‌های پژوهش نشان داد در سناریو تعریف شده با ورودی بارندگی با تأخیر صفر تا دو و دبی رودخانه با تأخیر یک، نتایج قابل قبولی با مدل شبکه عصبی مصنوعی به دست آمده است. لذا آن‌ها اظهار داشتند که نتایج به دست آمده، نسبت به نتایج سایر سناریوهای تعریف شده صحیح‌تر است.

ت- نتایج سناریو چهارم

در سناریو چهارم متغیرهای ورودی بارش و متغیر دبی با یک روز تأخیر و متغیر خروجی دبی متوسط روزانه است. از نتایجی که در جدول ۶ به دست آمده است مقادیر معیارهای ارزیابی R، RMSE و NSE برای بخش آموزش به ترتیب برابر با 0.92 ، 6.65 و 0.84 و برای بخش آزمون به ترتیب برابر با 0.91 ، 5.34 و 0.82 را نشان می‌دهد. طبق نتایج معیارهای ارزیابی، می‌توان گفت که این سناریو از صحت قابل قبولی برخوردار است.

طبق نتایج این جدول مقادرهای NSE در بخش آموزش و آزمون به یک نزدیک‌تر بوده که نشان‌دهنده تطابق خوب بین مقادیر مشاهداتی و شبیه‌سازی شده است. هم‌چنان، ضریب همبستگی مشخص کننده مقدار تطابق بین داده‌های مشاهداتی با نتایج پیش‌بینی شده است، که می‌توان گفت شاخص‌های خطاستجی در بخش آموزش و آزمون نتیجه مطلوبی برای پیش‌بینی مقدار دبی در این سناریو را نشان می‌دهد.



شکل ۵- تغییرات سری زمانی مقادیر دبی مشاهداتی در برابر مقادیر شبیه‌سازی شده در مرحله آموزش و آزمون سناریو ۴

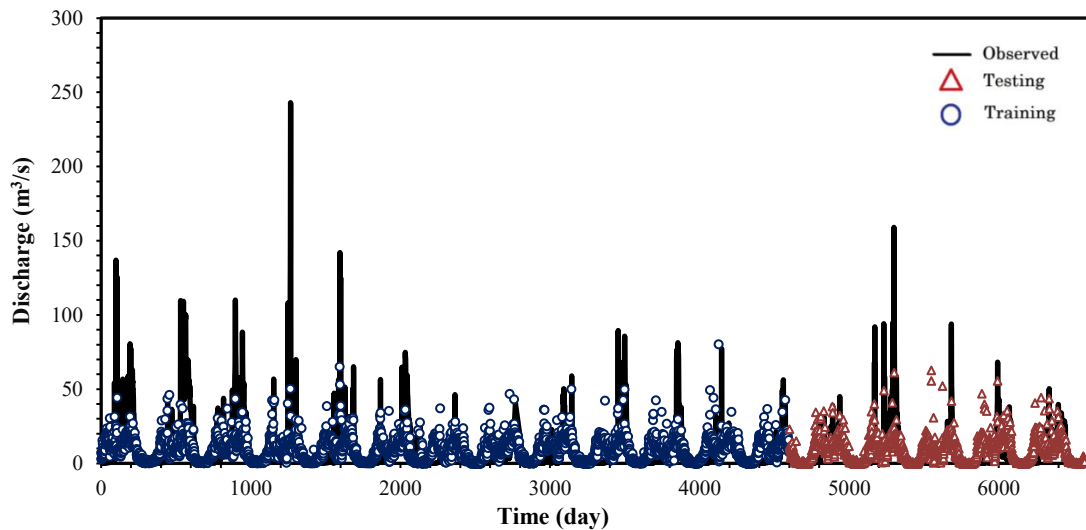
Figure 5. Changes in the time series of the observed discharge values against the simulated values in the stages of training and testing scenario 4

جدول ۷- نتایج شاخص‌های آماری برای سناریو ۵

Table 7. Results of the statistical indicators for scenario 5

Evaluation criteria	Stage	Calculated values
R	Training	0.47
	Testing	0.49
RMSE	Training	14.48
	Testing	11.12
NSE	Training	0.22
	Testing	0.20
MAE	Training	8.26
	Testing	6.57

در شکل ۶ نتایج تغییرات سری زمانی مقادیر دبی متوسط روزانه مشاهداتی در برابر مقادیر شبیه‌سازی شده در مرحله آموزش و آزمون نشان داده است. با توجه به این شکل، داده‌های مدل‌سازی شده فاصله زیادی با مقادیر مشاهداتی دارند و نشان می‌دهد در این سناریو نتایج قابل قبولی به دست نیامده است و ترکیب متغیر بارش با دمای میانگین، بیشینه و کمینه برای پیش‌بینی مقدار دبی در این منطقه مناسب نیست.



شکل ۶- تغییرات سری زمانی مقادیر دبی مشاهداتی در برابر مقادیر شبیه‌سازی شده در مرحله آموزش و آزمون سناریو ۵

Figure 6. Changes in the time series of the observed discharge values against the simulated values in the stages of training and testing scenario 5

جدول ۸- نتایج شاخص‌های آماری برای سناریو ۶

Table 8. Results of the statistical indicators for scenario 6

Evaluation criteria	Stage	Calculated values
R	Training	0.52
	Testing	0.53
RMSE	Training	14.09
	Testing	10.80
NSE	Training	0.27
	Testing	0.25
MAE	Training	7.93
	Testing	6.33

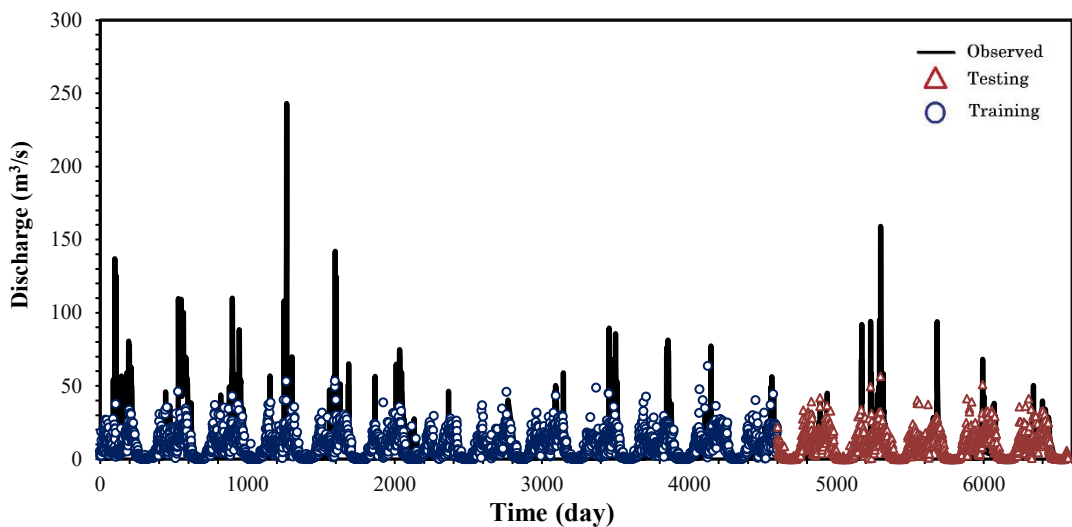
در شکل ۷ نیز نتایج تغییرات سری زمانی مقادیر دبی متوسط روزانه مشاهداتی در برابر مقادیر شبیه‌سازی شده در مرحله آموزش و آزمون در سناریو ششم نشان داده شده است که

ج- نتایج سناریو ششم

در سناریو ششم نتایج میزان تأثیر متغیرهای بارش، تبخیر، دمای میانگین و بیشینه و کمینه برای پیش‌بینی مقادیر متغیر خروجی دبی متوسط روزانه مورد بحث قرار گرفت. طبق جدول ۸ نتایج به دست آمده نشان می‌دهد که در بخش آموزش مقادیر شاخص‌های آماری R، RMSE و NSE در قسمت آموزش به ترتیب با ۰/۵۲، ۱۴/۰۹، ۰/۵۲ و ۰/۹۳ و در بخش آزمون هم به ترتیب برابر با ۰/۵۳، ۱۰/۸۰، ۰/۲۵ و ۰/۳۳ به دست آمده است که بیانگر نتیجه قابل قبولی نیست.

نیشان دهنده عدم توانایی این سناریو جهت مدل‌سازی در منطقه

مورد مطالعه است.



شکل ۷- تغییرات سری زمانی مقادیر دبی مشاهداتی در برابر مقادیر شبیه‌سازی شده در مرحله آموزش و آزمون سناریو ۶

Figure 7. Changes in the time series of the observed discharge values against the simulated values in the stages of training and testing scenario 6

۴- نتیجه‌گیری

در دهه‌های اخیر همواره بررسی صحیح و مدل‌سازی بارش-رواناب در مدیریت منابع آب در داخل و خارج کشور حائز اهمیت بوده است. در این پژوهش با استفاده از مدل شبکه عصبی مصنوعی، دبی در زیر حوضه سفر واقع در حوزه آبخیز دریاچه ارومیه مورد بررسی قرار گرفت. دوره آماری داده‌ها ۱۸ سال در مقیاس روزانه بود که اطلاعات مربوط به دبی از ایستگاه قباغلو اخذ شد. داده‌های هواشناسی شامل پارامترهای بارش، تبخیر، دمای میانگین، بیشینه و کمینه دما است. در این میان، جهت ارزیابی صحیح مدل شبکه عصبی مصنوعی، شش سناریو مختلف توسعه داد شد و سپس میزان عملکرد مدل شبکه عصبی مصنوعی در برآورده مدل‌سازی بارش-رواناب مورد بررسی قرار گرفت.

در نهایت طبق نتایج به دست آمده از بین شش سناریو توسعه داده شده، عملکرد مدل شبکه عصبی مصنوعی در سناریو چهارم با ورودی‌های بارش و دبی همراه با یک روز تأخیر، به عنوان بهترین ترکیب انتخاب شد. در این سناریو، شاخص‌های آماری نشان‌دهنده تطابق بسیار خوبی بین مقادیر مشاهداتی و شبیه‌سازی شده دبی متوجه روزانه نسبت به سایر سناریوها است. نتایج به دست آمده نشان داد که برای زیر حوضه سفر، الگوریتم مدل شبکه عصبی مصنوعی، نتایج مناسب و قابل قبولی حاصل شده است. پس می‌توان گفت مدل‌سازی مدل شبکه عصبی مصنوعی دارای عملکرد صحیح‌تر و خطای کم برای منطقه مطالعاتی است.

با توجه به شش سناریوی مدل‌سازی شده و نتایج به دست آمده، توانایی مدل شبکه عصبی مصنوعی در سناریوی شماره چهار با ورودی‌های بارش و دبی با یک واحد زمانی تأخیر با توجه به معیارهای ارزیابی R، RMSE و NSE در بخش آموزش به ترتیب 0.92 ، 0.84 و 0.65 حاصل شد و در بخش آزمون نیز به ترتیب 0.91 ، 0.82 و 0.57 به دست آمد. لذا سناریو چهار بهترین سناریو با دو لایه پنهان و تعداد نرون ۱۰ با الگوریتم یادگیری لونبرگ مارکوئت وتابع انتقال تانزانیت در لایه اول و پورلاین در لایه دوم، به عنوان بهترین معماری شبکه برای قسمت آموزش و آزمون در این پژوهش انتخاب و برترین ترکیب برای مدل‌سازی بارش-رواناب در زیر حوضه سفر انتخاب شد. همچنان، سناریوی اول که متغیر ورودی آن بارش بود، با توجه به مقادیر معیارهای ارزیابی فوق به ترتیب برابر با 0.29 ، 0.73 ، 0.09 و 0.97 در بخش آموزش و 0.35 و 0.10 در بخش آزمون، بیشترین خطای را نسبت به سایر سناریوها برای زیر حوضه سفر از خود نشان داد. ارجاع به پژوهش، (Mirzania et al. 2021) فرآیند بارش-رواناب در حوضه صوفی چای با استفاده از شبکه عصبی مصنوعی و هیبرید موجک-شبکه عصبی مورد مطالعه قرار دادند. در طول دوره آماری (۱۳۹۸-۱۴۰۳) داده‌های بارش-رواناب برای آموزش و صحبت‌سنگی مدل‌ها استفاده شد و برای هر مدل شش سناریو به کار برده شد. در حالت کلی نتایج هر دو مدل گویای صحبت قابل قبولی بود. از لحاظ اولویت، نتایج نشان داد، روش شبکه عصبی مصنوعی در بهبود و پیش‌بینی بارش-رواناب در سناریوهای تعریف شده عملکرد مناسب‌تری دارد.

رئوف، مجید، کاظمی، ژیلا، مصطفی‌زاده، رئوف، حسینی، یاسر و میرزایی، سجاد (۱۴۰۳). اثر تغییر شماره منحنی روی هیدروگراف سیالاب در یک حوزه آبخیز عکس العمل سریع (مطالعه موردی: حوزه آبخیز خیاوچای اردبیل). *مدل‌سازی و مدیریت آب و خاک*. ۲۶۱-۲۴۸.

doi: 10.22098/mmws.2023.12295.1221

ذرتی‌پور، امین، سلاجقه، علی، المعالی، نگار، و عسکری، حسین محمد (۱۳۸۸). بررسی مدل بارش-رواناب با استفاده از روش‌های شبکه عصبی مصنوعی و رگرسیونی دو متغیره آماری (مطالعه مورد در حوزه آبخیز میناب). *پژوهش‌های آبخیزداری*. ۲۲ (۲)، ۸۳-۶۹.

<https://www.magiran.com/p1059321>

سلگی، اباذر، زارعی، حیدر، پورحقی، امیر، و خدابخشی، حمیدرضا (۱۳۹۵). پیش‌بینی بارش ماهانه با مدل ترکیبی شبکه عصبی مصنوعی-موجک و مقایسه با مدل شبکه عصبی مصنوعی. *آبیاری و آب ایران*. ۶ (۲۳)، ۳۳-۱۸.

https://www.waterjournal.ir/article_73948.html
شاهانی، محمدمحسن، رضادرودی‌نژاد، وحید، و حسینی، سیدعباس (۱۴۰۲). مقایسه مدل‌های شبکه عصبی مصنوعی و یادگیری عمیق در مدل‌سازی بارش-رواناب رودخانه کشفرود و پیش‌بینی اثر تغییر اقلیم بر پارامترهای هواشناسی و دبی رودخانه. سد و نیروگاه برق آبی ایران. ۱۰ (۳۳)، ۹۷-۸۳.
doi: 20.1001.1.23225882.1402.0.0.6.7

میرزانی، احسان، ملک‌احمدی، حسین، شاه‌محمدی، یادگار، و ابراهیم‌زاده، علی (۱۴۰۰). تأثیر موجک بر افزایش دقت مدل‌های تضمینی در مدل‌سازی بارش-رواناب (مطالعه موردی: حوضه صوفی‌چای). *مدل‌سازی و مدیریت آب و خاک*. ۱ (۳). doi: 10.22098/MMWS.2021.9335.1035.

میرزایی، سجاد، رئوف، مجید، رسول‌زاده، علی، و پوراسکندر، ساناز (۱۳۹۴). شبیه‌سازی هیدروگراف سیالاب رودخانه حوضه آتشگاه استان اردبیل با بهره‌گیری از الگوی بارش بهینه. *پژوهش‌های حفاظت از خاک و آب*. ۲۲ (۵)، ۸۰-۶۳.
doi: 20.1001.1.23222069.1394.22.5.4.4

References

- Aksoy, S., & Haralick, M. (2001). Feature normalization and likelihood-based similarity measures for image retrieval. *Journal Pattern Recognition Letters*, 22(5), 563-582. doi: 10.1016/S0167-8655(00)00112-4
- Chanklan, R., Kaoungku, N., Suksut, K., Kerdprasop, K., & Kerdprasop, N. (2018). Runoff prediction with a combined artificial neural network and support vector regression. *International Journal of Machine Learning and Computing*, 8(1), 39-43. doi: 10.18178/ijmlc.2018.8.1.660.
- Dehghani, N., Vafakhah, M., & Bahremand, A.A. (2015). Rainfall-Runoff Modeling using Artificial Neural Network and Neuro-Fuzzy Inference System in Kasilian Watershed. *Journal of Watershed Management Research*. 7 (13), 128-137. doi: 10.18869/acadpub.jwmr.7.13.137 [In Persian]
- Estaghmateshan, P., & Normand, B. (2015). Rainfall-runoff model of Sufi Chai watershed using artificial neural network. *National Conference of Technology in Civil, Electrical and Mechanical Engineering*.<https://elmnet.ir/doc/20634488-9191> [In Persian]
- Kashani, M. H., Ghorbani, M.A., Dinpashoh, Y., & Shahmorad, S. (2016). Integration of volterra model with artificial neural networks for rainfallrunoff simulation in forested catchment of northern Iran. *Journal of Hydrology*, 540, 340-354. doi: 10.1016/j.jhydrol.2016.06.028
- Li, S., Yang, J., & Ansell, A. (2021). Discharge prediction for rectangular sharp-crested weirs by machine learning techniques. *Flow*

سپاسگزاری

از همکاری و مساعدت سازمان هواشناسی و شرکت آب منطقه‌ای استان کردستان در انجام مراحل مختلف پژوهش از جمله در اختیار قرار دادن داده‌ها و از دانشگاه ملایر جهت حمایت معنوی از این پژوهش قادرانی می‌شود.

تضاد منافع نویسندها

نویسندها این مقاله اعلام می‌دارند که هیچ‌گونه تضاد منافع در خصوص نگارش و انتشار مطالب و نتایج این پژوهش ندارند.

دسترسی به داده‌ها

همه اطلاعات و نتایج در متن مقاله ارائه شده است.

مشارکت نویسندها

سعید آزادی: نگارش نسخه اولیه مقاله، ویرایش و بازبینی مقاله، بازبینی متن مقاله؛ امین ترجیجان: مفهوم‌سازی، راهنمایی و مشاوره، کنترل نتایج؛ سامان مصطفایی: انجام تحلیل‌های نرم‌افزاری/آماری، تحلیل‌های آماری.

منابع

استقامت اشان، بربسا، و نورمند، پهرضا (۱۳۹۵). مدل بارش-رواناب حوضه آبریز صوفی چای با استفاده از شبکه عصبی مصنوعی. همایش سراسری فناوری و تکنولوژی در مهندسی عمران، برق و مکانیک. <https://elmnet.ir/doc/20634488-9191>

دهقانی، نوید، وفاخواه، مهدی، و بهرمند، عبدالرضا (۱۳۹۵). مدل‌سازی بارش-رواناب با استفاده از شبکه عصبی مصنوعی و شبکه فازی-عصبی تطبیقی در حوزه آبخیز کسیلیان. *پژوهش‌نامه مدیریت حوزه آبخیز*. ۱۳ (۷)، ۱۲۸-۱۳۳.
doi: 10.18869/acadpub.jwmr.7.13.137

- Measurement and Instrumentation*, 79, 101931. doi: 10.1016/j.flowmeasinst.2021.101931 [In Persian]
- Mirzaei, S., Raoof, M., Rasoulzadeh, A., & Poreskandar, S. (2015). Simulation Flood Hydrograph of Atashgah Basin River of Ardabil Province using optimized Rainfall Pattern. *Journal of Soil and Water Conservation Research*, 22(5), 63-80. doi: 20.1001.1.23222069.1394.22.5.4.4 [In Persian]
- Mirzania, A., Malek Ahmadi, H., Shahmohammadi, Y., & Ebrahim Zadeh, A. (2021). Impact of wavelet on accuracy of estimated models in rainfall-runoff modeling (Case study: Sufi Chay). *Soil and Water Modeling and Management*, 1 (3), 67-79. doi: 10.22098/MMWS.2021.9335.1035 [In Persian]
- Nourani, V., & Komasi, M.A. (2013). Geomorphology-based ANFIS model for multi-station modeling of rainfall-runoff process. *Journal of Hydrology*, 490, 41-55. doi: 10.1016/j.jhydrol.2013.03.024
- Nozari, H., & Azadi, S. (2017). Experimental evaluation of artificial neural network for predicting drainage water and groundwater salinity at various drain depths and spacing. *Journal of Neural Comput & Applic*, 31, 1227-1236. doi: 10.1007/s00521-017-3155-9
- Parsaie, A., Haggiabi, A. H., Emamgholizadeh, S., & Azamathulla, H.M. (2019). Prediction of discharge coefficient of combined weir-gate using ANN, ANFIS and SVM. *International Journal of Hydrology Science and Technology*, 9(4), 412. doi:10.1504/ijhst.2019.102422
- Patel, A. B., & Joshi, G.S. (2017). Modeling of rainfall-runoff correlations using artificial neural network-a case study of Dharoi Watershed of a Sabarmati River Basin, India *Journal Civil Engineering*, 3(2), 78-87. doi: 10.28991/cej-2017-00000074
- Phuphong, S., Surussavadee, C., & Member, S. (2013). An artificial neural network based runoff forecasting model in the absence of precipitation data: a case study of Khlong U-Tapao river basin, Songkhla Province, Thailand. *4th International Conference on Intelligent Systems, Modelling and Simulation*. Pp: 73-77, doi: 10.1109/ISMS.2013.51
- Raoof, M., Kazemi, J., Mostafazadeh, R., Hoseini, Y., & Mirzaei, S. (2024). Effect of curve number changes on flood hydrograph in a rapid response watershed (Case study: Ardabil Khiavchay Watershed). *Water and Soil Management and Modelling*, 4(1), 248-261. doi: 10.22098/mmws.2023.12295.1221 [In Persian]
- Shahani, M.H., Rezavardinejad, V., & Hosseini, S.A. (2023). Comparison of artificial neural network and deep learning models in rainfall-runoff modeling of Kashafrood river and predicting climate change impact on meteorological parameters and river flow. *Scientific Journal of Iranian Hydroelectric Dam and Power Plant*, 10(33), 2023, dor: 20.1001.1.23225882.1402.0.0.6.7 [In Persian]
- Solgi, A., Zarei, H., Pourhaghi, A., & Khodabakhshi, H.R. (2015). Forecasting Monthly Precipitation Using a Hybrid Model of Wavelet Artificial Neural Network and Comparison with Artificial Neural Network. *Journal of Irrigation and Water Engineering*, 6(23), 18-33, https://www.waterjournal.ir/article_73948.html [In Persian]
- Zoratipour, A., Salageghe, A., Almaali, N., & Askari, H. (2009). The assessment of precipitation- runoff model by using of artificial neural network and regression methods (Case study: Minab Basin). *Whatershed Management Research*, 22 (2), 69-83. <https://www.magiran.com/p1059321> [In Persian]